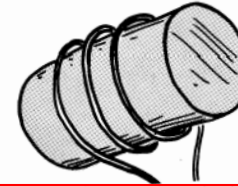


Magnetisme

- **Magnetostatikk** (ingen tidsvariasjon): $\partial \mathbf{B} / \partial t = 0$
- Kap 27. Magnetiske krefter
- Kap 28: Magnetiske kilder
- **Elektrodynamikk:** $\partial \mathbf{B} / \partial t \neq 0$
- Kap 29: Elektromagnetisk induksjon
- Kap 30: Induktans
- Kap 31: Vekselstrømskretser

FARADAY'S PARADOX

This is a coil of wire with a hunk of iron locked in it.

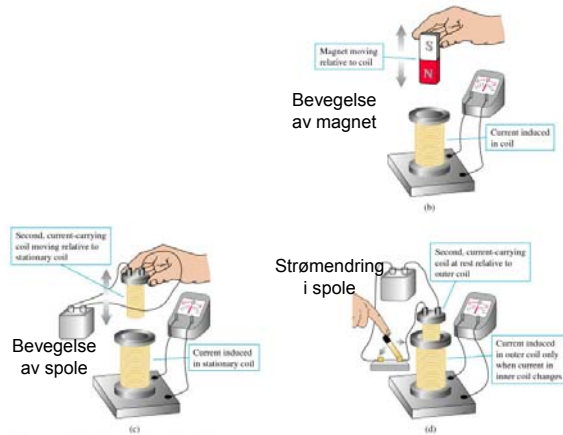


Hvilke er rett, a,b,c eller d?

- a) If current is made to flow in the wire, the iron becomes a magnet
- b) If the iron is a magnet, current is made to flow in the wire
- c) Both of the first two statements are true
- d) Both of the first two statements are false

Michael **Faraday** (eng. 1791-1867) og Joseph **Henry** (amer. 1797-1878):
1832: Strøm produseres ved **induksjon**:

Flere muligheter for induksjon:



Copyright © 2004 Pearson Education, Inc., publishing as Addison Wesley.

(Fig 29.1)

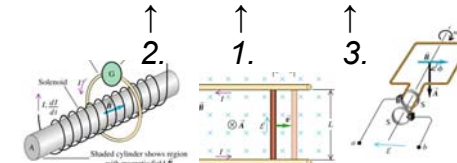
Faradays lov:

Indusert ems: $\mathcal{E} = - d\Phi_B / dt$, der $\Phi_B = \iint \mathbf{B} \cdot d\mathbf{A}$

eller indusert \mathbf{E} -felt: $\oint \mathbf{E} \cdot d\mathbf{s} = - d\Phi_B / dt$

Homogen \mathbf{B} og plan strømsløyfe:

$$\Phi_B = B A \cos \varphi = B(t) \cdot A(t) \cdot \cos \varphi(t)$$



Bevis av Faradays lov:
 1. Endring $A(t)$:
 $\mathcal{E} = -d\Phi_B/dt = -B \cdot dA(t)/dt \cdot \cos 0^\circ$

(Fig 29.11)

Induksjon: Lenz' lov

(Fig 29.14)

Le Chateliers prinsipp:

Et system i likevekt som påtvinges en endring: Systemet reagerer med å motvirke endringen.

(naturen er konservativ)

Faradays lov:
 2. Endring $B(t)$:
 Indusert e.m.s: $\mathcal{E} = -d\Phi_B/dt = -dB(t)/dt \cdot A \cdot \cos 0^\circ$
 bedre: industert E -felt: $\oint \vec{E} \cdot d\vec{s} = -d\Phi_B/dt$

(Fig 29.17)

Faradays lov:
3. Endring $\varphi(t)$:
 $\mathcal{E} = - d\Phi_B/dt = - B \cdot A \cdot d(\cos \varphi) /dt$

(Fig 29.8)

Faradays lov:
3. Endring $\varphi(t)$:
 $\mathcal{E} = - d\Phi_B/dt = - B \cdot A \cdot d(\cos \varphi) /dt$

Med kommutator (likeretter)

(Fig 29.10)

Eksempel AC-motor:
 (eller se Y&F: Ex. 29.5)
 $B = 0,20 \text{ T}$
 $N = 500$
 $A = (0,10 \text{ m})^2 = 0,010 \text{ m}^2$
 Hva er tilbakeindusert ems ved 1680 RPM?

$f = 1680 \text{ RPM} = 1680 (\text{min})^{-1}$
 tilsvarer radianer per sekund:
 $\omega = 1680/60 \text{ s}^{-1} \cdot 2\pi = 176 \text{ s}^{-1}$

Gir ems'en:
 $\mathcal{E} = N \cdot B \cdot A \cdot \omega \cdot \sin \omega t$
 $= 500 \cdot 0,20 \text{ T} \cdot 0,010 \text{ m}^2 \cdot 176 \text{ s}^{-1} \cdot \sin \omega t$
 $= 176 \text{ V} \cdot \sin \omega t$

Hvis $V_{\text{inn}} = 200 \text{ V} \cdot \sin \omega t$
 er
 $I(t) = (V_{\text{inn}} - \mathcal{E})/R = 24 \text{ V} \cdot \sin \omega t / R$

Virvelstrømmer (Y&F 29.6, ikke pensum).
 Eks: B -felt over en del av arealet i roterende metallskive.

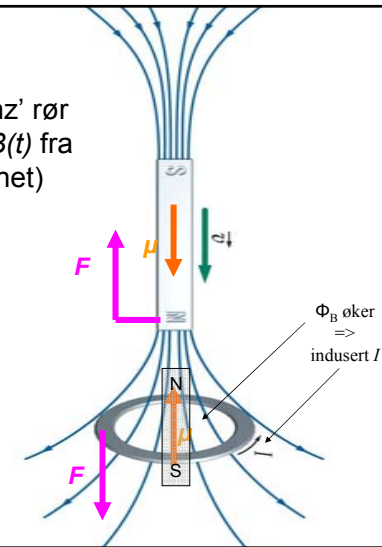
(Fig 29.19)

”Eddy current pendulum”

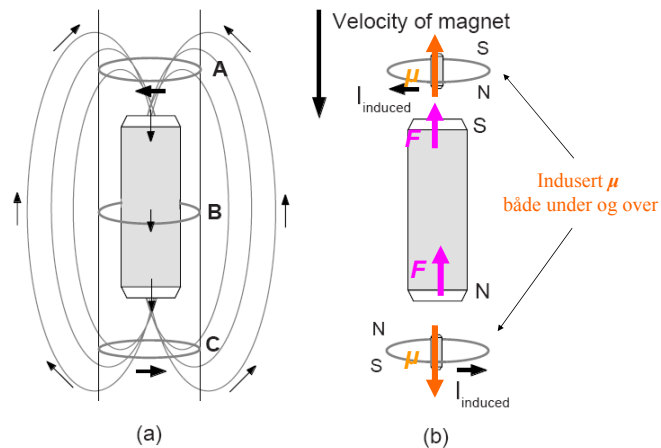
Video på nettside <http://demoroom.physics.ncsu.edu/html/demos/163.html>



Virvelstrøm i Lenz' rør
(tidsvarierende $B(t)$ fra bevegende magnet)

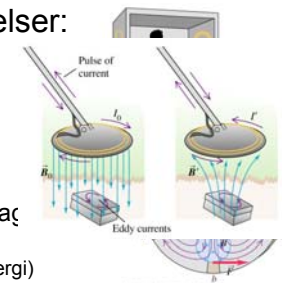


Lenz' rør



Virvelstrømmer.
Anvendelser:

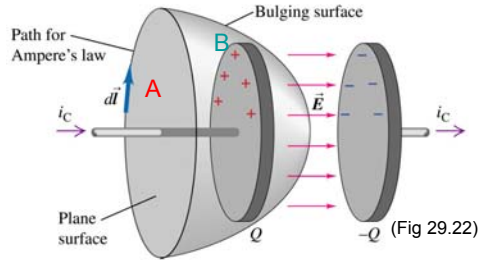
- Metalldetektor:
 - Minesøking
 - Sikkerhetskontroll flyplasser
 - Søke etter vannrør
 - Deteksjon foran lyskryss
 - Søpelsortering (glass/metall)
- Bremsere i tog/trikk/buss/sirkelsaç
(virvelstrøm gir varme, evt. induksjonsbrems gir el.energi)
- Wattmålere (husholdning)
- Fartsmålere bil (før digitalt og GPS).
- Induksjonskomfyrer
(ferromagn.materiale i gryter for å gi høy B . Litt hysteresebidrag)
- Induksjonsveising.



Problem med Amperes lov?

$\int \mathbf{H} \cdot d\mathbf{s} = i_{\text{encl}}$
 = strøm gjennom enhver valgt flate omsluttet av integrasjonsvegen

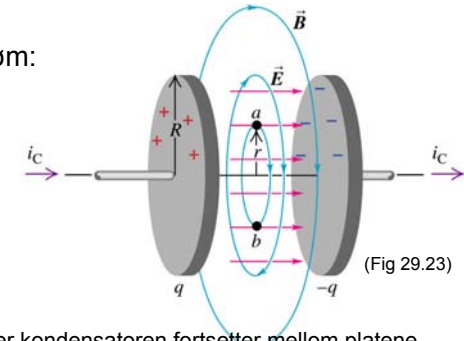
Plan flate **A**: strøm i_C gjennom flata
 Kurvet flate **B**: ingen strøm gjennom flata!



Løsning: "Forskyvningsstrøm"

Forskyvningsstrøm:

$i_D = d\Phi/dt$, der
 $\Phi = \int \mathbf{D} \cdot d\mathbf{A}$



Strømmen i_C som lader kondensatoren fortsetter mellom platene som forskyvningsstrøm i_D som gir B -felt mellom platene.

Modifikasjon av Amperes lov:

$\int \mathbf{B} \cdot d\mathbf{s} = \mu_0 (i + i_D)$ $\int \mathbf{H} \cdot d\mathbf{s} = i + i_D$

Differensialform: $\text{curl } \mathbf{H} = \mathbf{J} + \partial \mathbf{D} / \partial t$

Superledere (Y&F 29.8, ikke pensum)

1. Resistans faller brått til ≈ 0 under gitt temp T_C

Resistivitet:
 Halvledere: $\rho \approx 1 \text{ } \Omega\text{m}$
 Metaller: $\rho \approx 10^{-7} \text{ } \Omega\text{m}$
 Superledere: $\rho < 10^{-20} \text{ } \Omega\text{m}$

- 1911: H Kammerlingh Onnes: Kvikksølv under $T_C = 4,1 \text{ K}$ (Nobelpris fysikk 1913)
- 1957: BCS-teori (J Bardeen, LN Cooper, JR Schrieffer): Kvantemekanisk forklaring. (Nobelpris fysikk 1972)
- 1986: J. Bednorz, KA Müller: Visse oksider: superledning opp til $T_C \approx 100 \text{ K}$. (Flytende N_2 har temp 77 K.) (Nobelpris fysikk 1987)

Metaller	T_c (K)
Al	1.18
In	3.41
Sn	3.72
Ta	4.47
V	5.40
Pb	7.20
Nb	9.25
Hg	4.12
Ga	1.07
<i>Legeringer og sammensetninger</i>	
Pb-In	7
Pb-Bi	8.3
Nb-Ti	9.5
Nb-Zr	10.7
Nb-N	16.0
V ₃ Ge	15.3
V ₃ Si	16.3
Nb ₃ Sn	18.0
Nb ₃ Ge	23.2

Kritiske temperaturer for superledere

(Flytende N_2 har temp 77 K.)

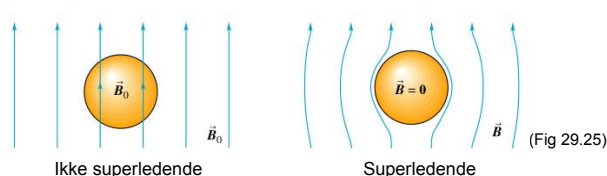
Oksider	T_c (K)
BaPb _{0.75} B _{0.25} O ₃	13
La _{1.85} Ba _{0.15} CuO ₄	36
Bi ₂ Sr ₂ CaCu ₂ O ₈	84
Tl ₂ Ba ₂ Ca ₂ Cu ₃ O ₁₀	125
<i>Fullerener</i>	
K ₃ C ₆₀	18
Rb ₃ C ₆₀	28
Cs ₂ RbC ₆₀	33

(Tab. 21.4 i Lillestøl, Hunderi, Lien)

Superledere

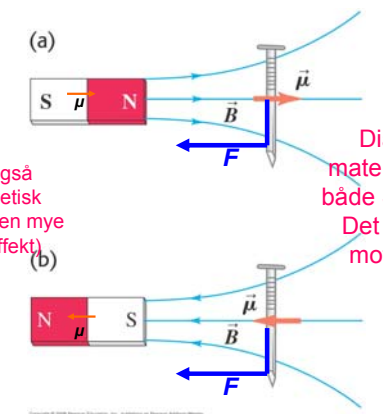
2. Perfekt diamagnetisk: $\chi_{\text{m}} = -1$; $\mu_r = 0$
ved rimelig svake magnetfelt.
(Meissnereffekt)

=>Magnetfelt trekker ikke inn i superledere, $B = \mu_r \mu_0 H = 0$ inni.



(Fig 29.25)

Jern tiltrekkes både S-pol og N-pol (i inhomogent felt).

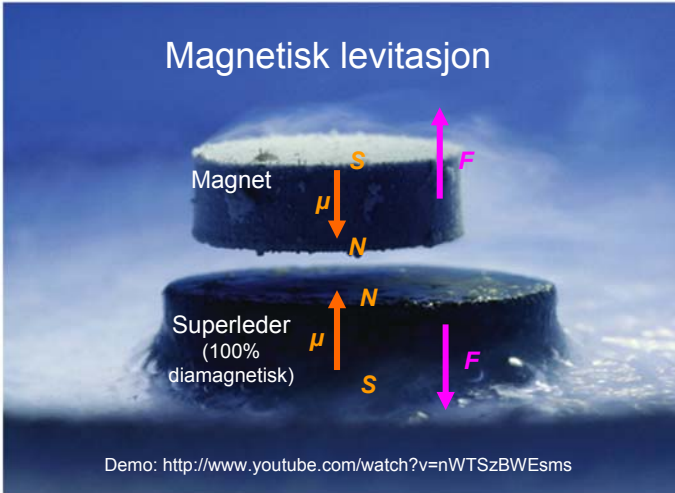


Diamagnetisk materiale **frastøtes** både S-pol og N-pol: Det induseres μ i motsatt retning.

Gjelder også paramagnetisk materiale (men mye svakere effekt)

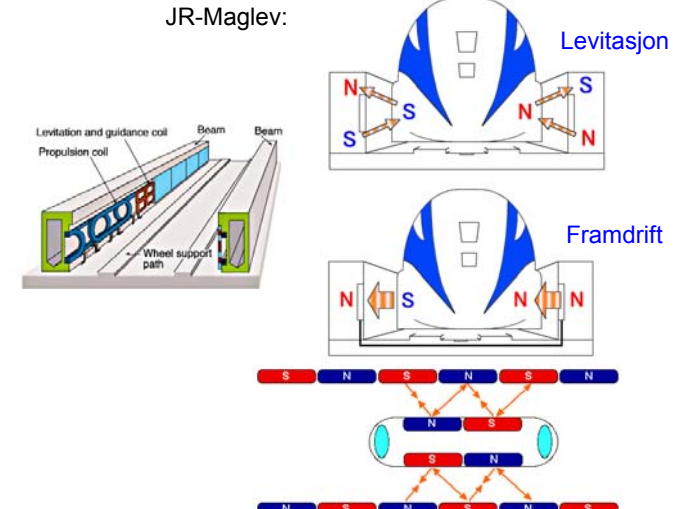
(Fig 27.38)

Magnetisk levitasjon



Demo: <http://www.youtube.com/watch?v=nWTSzBWEsms>

JR-Maglev:



Levitasjon

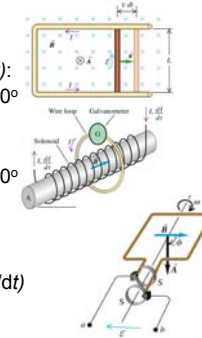
Framdrift

Nytte av superledere:

- Produksjon av sterke B-felt (> 1 T):
 - MR-instrument i medisin og NMR-instrument i vitenskapen
 - Maglev-tog (magnet-svevetog):
http://en.wikipedia.org/wiki/Maglev_train
- Elektrisk kraftoverføring?
 Forsøk på gang (korte strekninger).

Kap. 29: Oppsummering: Elektromagnetisk induksjon

- Faradays lov for homogent **B**-felt og plan strømsløyfe:
 $\mathcal{E} = - d\Phi_B/dt = - d/dt \{ B(t) \cdot A(t) \cdot \cos\varphi(t) \}$
- Tre ulike tilfeller:
 - 1) Bevegelsesindusert, endring i $A(t)$:
 $\mathcal{E} = - d\Phi_B/dt = - B \cdot dA(t)/dt \cdot \cos 0^\circ$
 - 2) Tidsvariasjon i $B(t)$:
 $\mathcal{E} = - d\Phi_B/dt = - dB(t)/dt \cdot A \cdot \cos 0^\circ$
 - 3) Rotasjon, endring i $\varphi(t)$:
 $\mathcal{E} = - d\Phi_B/dt = - B \cdot A \cdot d(\cos \varphi) /dt$



Kap. 29: Oppsummering: Elektromagnetisk induksjon

- Faradays lov:
 $\mathcal{E} = - d\Phi_B/dt$, der $\Phi_B = \int \mathbf{B} \cdot d\mathbf{A}$.
 Dvs: endring i magnetisk fluks Φ_B inducerer ems.
 Generelt, induksjon av **E**-felt i lukket kurve:
 $\int \mathbf{E} \cdot d\mathbf{s} = \mathcal{E} = - d\Phi_B/dt$
 - Lenz' lov: Indusert strøm motsetter seg fluksendringen.
 - Virvelstrømmer.
 - Forskyvningsstrøm: $I_D = d\Phi/dt$, der $\Phi = \int \mathbf{D} \cdot d\mathbf{A}$.
 Modifikasjon av Amperes lov:
 $\int \mathbf{B} \cdot d\mathbf{s} = \mu_0 (I + I_D)$ $\int \mathbf{H} \cdot d\mathbf{s} = I + I_D$
- Differensialform: $\text{curl } \mathbf{H} = \mathbf{J} + \partial \mathbf{D} / \partial t$

Maxwells fire likninger

Integralform		Differensialform
$\oint \vec{D} \cdot d\vec{A} = Q$	Gauss' lov D	$\vec{\nabla} \cdot \vec{D} = \rho$
$\oint \vec{B} \cdot d\vec{A} = 0$	Gauss' lov B	$\vec{\nabla} \cdot \vec{B} = 0$
$\oint \vec{H} \cdot d\vec{l} = I + \frac{\partial \Phi}{\partial t}$	Amperes lov	$\vec{\nabla} \times \vec{H} = \vec{J} + \frac{\partial \vec{D}}{\partial t}$
$\oint \vec{E} \cdot d\vec{l} = -\frac{\partial \Phi_B}{\partial t}$	Faradays lov	$\vec{\nabla} \times \vec{E} = -\frac{\partial \vec{B}}{\partial t}$